

پترولوزی، ژئوشیمی و کانی‌شناسی گذاره‌های پتاسیک و اولتراتپتاسیک (غلب شوشوونیتی) شمال غرب مرند(آذربایجان)

علی اکبر خضرلو، صدرالدین امینی: دانشگاه تربیت معلم تهران

محسن موبد: دانشگاه تبریز

چکیده

سنگ‌های ولکانیک شمال غرب مرند با سن پلیوکاترنر شامل: آندزیت، آندزیت بازالتی، لوسیت بازالتی و تفریت است. بالا بودن مقادیر K_2O و MgO و نیز نسبت K_2O/Na_2O نشان می‌دهد که سنگ‌های منطقه را می‌توان جزو سنگ‌های پتاسیک و اولتراتپتاسیک رده بندی کرد. با این توضیح که از نظر سری ماگمایی در محدوده شوشوونیتی قرار می‌گیرند. بررسی عناصر فرعی نشان می‌دهد که سنگ‌های این منطقه از عناصر LIL غنی بوده و دارای مقادیر پایین عناصر HFS هستند، این نشان می‌دهد که بخش گوشته ای لیتوسفر متاسوماتیزه شده با ترکیب گارنت لرزولیتی و فوگاسیتی بالای H_2O/CO_2 نقش عمده ای در ژن ز این سنگ‌ها داشته‌اند که آغشتنگی بخشی از ماگما با مواد پوسته ای منجر به تغییر ترکیب شیمیابی ماگما از آلکالن به ساب آلکالن شده است.

مقدمه

منطقه بررسی شده در محدوده ۴۵ درجه و ۱۵ دقیقه تا ۴۵ درجه و ۳۰ دقیقه طول جغرافیایی شرقی قرار گرفته و دارای عرض جغرافیایی ۳۸ درجه و ۳۰ دقیقه تا ۳۸ درجه و ۴۵ دقیقه شمالی است. این منطقه در زون‌بندی‌های زمین ساختاری در زون ایران مرکزی (اشتوکلین، [۲۶]) و البرز غربی- آذربایجان (نبوی، [۲۷]) قرار دارد.

پژوهش‌های قبلی انجام شده در این منطقه بیشتر مربوط به نقشه زمین‌شناسی چهارگوش تبریز- پلدشت^[۳] با مقیاس ۱:۲۵۰۰۰ و نقشه چهار گوش قره ضیاء الدین^[۴] با مقیاس ۱:۱۰۰۰۰۰ است که سازمان زمین‌شناسی کشور انجام داده است. در مجاورت منطقه بررسی شده در غرب و شمال غرب روستای زنجیره بررس‌هایی بر روی ولکانیسم کواترنری به وسیله پرکنی^[۲] صورت گرفته است و همچنین احمدزاده^[۱] پایان‌نامه کارشناسی ارشد خود را تحت عنوان بررسی‌های پترولوزی و پتروگرافی سنگ‌های ولکانیک منطقه گله بان، روی سنگ‌های تحت اشباع از سیلیس انجام داده است.

گذاره‌های منطقه بررسی شده به طور متناوب همراه با دوره‌های آرامش فوران کرده‌اند که حالتی تقریباً لایه مانند در سنگ‌های این منطقه قابل مشاهده است. بررسی‌های صحرایی نشان می‌دهد که سنگ‌های موجود در

شمال و شمال شرق جاده ترانزیتی خوی-مرند از نوع آندزیت بازالتی و آندزیت است. در این منطقه شروع فوران ترکیب آندزیت بازالتی دارد و به آندزیت ختم می‌شود و حجم سنگ‌های آندزیت در این منطقه از سنگ‌های دیگر بیشتر است. بخش دیگر سنگ‌ها که در جنوب جاده آسفالت و ترانزیتی مرند- خوی قرار گرفته‌اند، نسبت به سنگ‌های قبلی جوان‌ترند. سنگ‌های پتاسیک و اولتراتپتاسیک نیز در جنوب جاده آسفالت و ترانزیتی مرند- خوی قرار گرفته‌اند، فوران‌های اولیه با ترکیب لوسیت تقریت و لوسیت بازانیت است که با فوران‌های بعدی تقریت، آندزیت بازالتی و آندزیت دنبال می‌شوند. ویژگی‌های گدازه‌های بررسی شده در این نوشтар از نظر بافت و ساخت و فابریک با نهشت‌های اوسن آذربایجان مقاومتند. ضمن این‌که نهشت‌های اوسن و حتی میوسن فوقانی که در نقشه [۴] نمایش داده شده؛ بعضاً به وسیله این سنگ‌ها به شکل دایک یا سیل قطع شده‌اند و یا مشخصاً با این گدازه‌ها در بعضی نقاط پوشیده شده‌اند(شکل ۱) و به همین سبب از نظر سنی جوان‌ترند و ممکن است به احتمال زیاد مربوط به فعالیت‌های فاز آستیرین و به سن پلیو- کواترنر آذربایجان باشند.

پتروگرافی

سنگ‌های ولکانیک شمال‌غرب مرند بر اساس بررسی‌های پتروگرافی در پنج گروه آندزیت، آندزیت بازالتی، لوسیت بازانیت، لوسیت تقریت و تقریت قرار می‌گیرند. حجم سنگ‌های آندزیت بیشتر از بقیه سنگ‌ها است و در حدود ۳۰ درصد منطقه را پوشانده است.

آندزیت

اصلی‌ترین و فراوان‌ترین کانی در این سنگ‌ها پلازیوکلاز است و در حدود ۴۵ تا ۵۰ درصد مقاطع را تشکیل می‌دهد. این کانی در اندازه‌های مقاومت از میکرولیت‌های ریزخمیره تا فنوکریستال‌های درشت قابل مشاهده است و تغییرات اندازه به صورت پیوسته بوده و این شرایط بافت Seriate (شکل-a-۲) را در آن‌ها تشکیل داده است (مکن‌زی، [۱۶]). بیشتر پلازیوکلاز‌ها ماکل‌دار هستند و بافت غربالی نیز در بعضی از نمونه‌ها دیده می‌شود (شکل-b-۲). زونینگ نوسانی نیز در برخی از پلازیوکلاز‌های منطقه بررسی شده دیده می‌شود(شکل-a-۲). کانی دیگر این سنگ‌ها کلینوپیروکسن در حدود ۱۰ درصد مقاطع را تشکیل می‌دهد که بیشتر به صورت ریز بلور است و در خمیره سنگ دیده می‌شود و کمتر به صورت فنوکریست مشاهده می‌شود (شکل-d-۲).

کانی آمفیبیول به صورت پراکنده و تقریباً شکل‌دار در این سنگ‌ها دیده می‌شود (شکل c-۲). این کانی در حدود ۲ تا ۵ درصد مقاطع را تشکیل می‌دهد و به دو صورت زونه و غیرزونه قابل مشاهده است و اغلب حاشیه سوخته دارد که به اکسید آهن تبدیل شده است. کانی فلوگوپیت در حدود ۶ تا ۸ درصد مقاطع را تشکیل می‌دهد و به دو صورت سالم و حاشیه سوخته دیده می‌شود(شکل c-۲).

بافت اصلی این سنگ‌ها شامل میکرولیتی پورفیریک، جریانی، سری و هیالومیکرولیتی پورفیریک است (شکل a-c).^(۲)

آندرزیت بازالتی

در بررسی‌های میکروسکوپی، آندزیت‌ها به خوبی از آندزیت‌های بازالتی قابل تفکیک هستند. در آندزیت‌ها تعداد فنوکریست‌های پلازیوکلاز بسیار زیاد است و کلینوپیروکسن به مقدار بسیار کم به صورت فنوکریست وجود دارد اما در آندزیت‌های بازالتی مقدار کلینوپیروکسن‌های فنوکریست قابل توجه است و در هر حال مقدار آن از فنوکریست‌های پلازیوکلاز کمتر است. در خمیره آندزیت‌ها کلینوپیروکسن موجود نیست، اما در خمیره آندزیت‌های بازالتی کلینوپیروکسن ظاهر می‌شود.

پلازیوکلاز فراوان‌ترین کانی در این سنگ‌هاست که هم به صورت فنوکریست و هم به صورت ریز بلور در خمیره دیده می‌شود. پلازیوکلاز در حدود ۳۰ تا ۳۵ درصد مقاطع را دارد. پلازیوکلاهای این سنگ‌ها در مقایسه با آندزیت‌ها سالمتر به نظر می‌رسند و همچنین بافت غربالی نیز در پلازیوکلازهای این سنگ‌ها به ندرت دیده می‌شود. اکثر پلازیوکلاز‌ها به صورت ماکل دار هستند (شکل f-۲) و زونینگ نوسانی نیز در بعضی نمونه‌ها دیده می‌شود.

کلینوپیروکسن از لحاظ فراوانی دومین کانی در این سنگ‌هاست و در حدود ۱۵ تا ۲۰ درصد مقاطع را تشکیل می‌دهد. کلینوپیروکسن‌ها هم به صورت فنوکریست و هم به صورت ریز بلور در خمیره یافت می‌شوند. در بعضی نمونه‌های کلینوپیروکسن ماکل ساعت شنی نیز دیده می‌شود (شکل f-۲).

امفیبول از کانی‌های فرعی این سنگ‌هاست که در حدود ۲ تا ۵ درصد حجم این سنگ‌ها را تشکیل می‌دهد. بیشتر آمفیبول‌ها شکل‌دار هستند و حاشیه سوخته دارند (شکل e-۲).

فلوگوپیت به مقدار بسیار کمتر و در حدود ۶ تا ۸ درصد مقاطع را تشکیل می‌دهد و بیشتر به صورت حاشیه سوخته دیده می‌شود (شکل e-۲). بافت غالب در این سنگ‌ها میکرولیتی پورفیریک است.

لوسیت تفریت

کلینوپیروکسن از فراوان‌ترین کانی‌های این سنگ‌هاست و حدود ۲۵ تا ۳۰ درصد حجم این سنگ‌ها را تشکیل می‌دهد که به دو صورت فنوکریست و ریز بلور دیده می‌شود. اغلب به صورت خود شکل و نیمه خود شکل است (شکل a-۳). اندازه این کانی متغیر است و از بلورهای ریز خمیره تا فنوکریست‌های درشت قابل مشاهده است. اکثر کلینوپیروکسن‌ها سالم هستند و دگرسان نشده‌اند. زونینگ نوسانی در بیشتر نمونه‌ها قابل مشاهده است. بافت غربالی نیز در کلینوپیروکسن‌ها دیده می‌شود که دلیل آن ممکن است سرعت صعود زیاد ماگما و کاهش فشار در دمای ثابت باشد.

لوسیت‌ها از لحاظ حجمی معادل با کلینوپیروکسن‌ها هستند و در اندازه‌های درشت فنورکریست تا بلورهای خیلی ریز مینه قابل مشاهده‌اند. اکثراً خودشکل و نیمه خودشکل و ایزوتروپ هستند و ماکل پیچیده دارند(شکل a-۳). پلازیوکلاژ از کانی‌های دیگر این سنگ‌هاست که فقط به صورت ریز و سوزنی فضای بین بلورهای درشت را پر می‌کند.

آپاتیت کانی فرعی دیگر این سنگ‌هاست که بیشتر به صورت درشت بلور دیده می‌شود (شکل b-۳). کانی‌های اپک در حدود ۵ تا ۸ درصد مقاطع را تشکیل می‌دهند و بیشتر اتومورف هستند. برای اطلاع از ترکیب کانی‌های تیره در ۳ نمونه آنالیز الکترون میکرو پروف انجام شده است. ترکیب کانی‌های تیره بیشتر منیتیت و تیتانومنیتیت بوده است.

خمیره این سنگ‌ها شیشه‌ای و ریز بلور است؛ ریز بلورها بیشتر شامل پلازیوکلاز، سانیدین، لوسیت و به مقدار کمتر کلینوپیروکسن است که در برخی مقاطع تا ۲۰ درصد شیشه نیز دیده می‌شود. بافت غالب در این سنگ‌ها هیالومیکرولیتی پورفیریک است.

لوسیت بازانیت

کلینوپیروکسن از کانی‌های اصلی این سنگ‌هاست و در حدود ۲۰ درصد مقاطع را تشکیل می‌دهد. کلینوپیروکسن در این مقاطع در اندازه‌های مختلف دیده می‌شود که از فنورکریست‌های درشت شکل‌دار و نیمه شکل‌دار تا بلورهای ریز خمیره قابل مشاهده است و بیشتر به صورت زونه هستند (شکل d-۳). در بعضی از کلینوپیروکسن‌ها بافت غربالی به وضوح دیده می‌شود.

بلورهای لوسیت نسبت به لوسیت تفریت‌ها درشت‌تر است و در حدود ۱۵ تا ۱۲ درصد حجم سنگ‌ها را تشکیل می‌دهد. اندازه آن‌ها از بلورهای درشت فنورکریست تا بلورهای ریز خمیره متغیر است.

الیوین در حدود ۵ تا ۱۰ درصد مقاطع را تشکیل می‌دهد و بیشتر به ایدنگزیت تبدیل شده است (شکل c-۳). این مسئله به دلیل تبلور الیوین در حرارت‌های زیاد و قرار گرفتن در شرایط جوی و فشار کم است (شلی، [۲۱]). ایدنگزیت مجموعه‌ای از محصولات دگرسانی است که به صورت مخلوطی از اکسیدهای آهن فریک و سیلیکات کلسیم و منیزیم است. نبود حاشیه واکنشی و بافت کرونا در بلورهای الیوین ممکن است نشان‌گر الکالینیته زیاد ماقما و کمبود سیلیس آن باشد.

سانیدین نیز مانند پلازیوکلاز ریز بلور است، در فضای بین بلورها قرار دارد و در حدود ۵ درصد مقاطع را تشکیل می‌دهد (شکل d-۳).

کانی‌های فرعی شامل پلازیوکلاز، سانیدین، کانی‌های اپک و آپاتیت است. بافت غالب در این سنگ‌ها میکرولیتی پورفیریک است.

تفریت

کانی‌های اصلی شامل کلینوپیروکسن و پلازیوکلاز است.

پلازیوکلاز از فراوان‌ترین کانی‌ها در این سنگ‌ها است که در برخی مقاطع تا ۲۵ درصد حجم سنگ را تشکیل می‌دهد. اندازه متفاوت این بلورها در برخی نمونه‌ها باعث تشکیل بافت Sreiate شده است. بیشتر پلازیوکلاز‌ها ماکل‌دار است (شکل ۳-۶) و زونینگ نوسانی بر خلاف سنگ‌های دیگر منطقه به ندرت دیده می‌شود. کلینوپیروکسن کانی اصلی دیگر این سنگ‌هاست و در اندازه‌های مختلف دیده می‌شود (شکل ۳-۷). بافت غربالی در بعضی از کلینوپیروکسن‌ها قابل مشاهده است (شکل ۳-۸).

خمیدگی و شکستگی‌ای که در بلور‌های درشت کلینوپیروکسن در شکل (۳-۸) دیده می‌شود، احتمالاً نمایان‌گر تحت فشار قرار گرفتن ماگما در حین صعود است. کانی‌های فرعی شامل آپاتیت، سانیدین، لوسیت، آمفیبول و فلوگوپیت است؛ بافت غالب در این سنگ‌ها میکرولیتی پورفیریک است.

شیمی کانی‌ها

فلدیپات‌های موجود در سنگ‌های آندزیتی به روش الکترون میکروپرورپ تجزیه شده است و ترکیب آن‌ها محلول جامدی است بین An و Ab و یک پلازیوکلاز با ترکیب الیگوکلاز تا آندزین اسید است (شکل a-۴) و $Ab-Or$ با ترکیب سانیدین (شکل e-۴) است که این مسئله با بررسی‌های پتروگرافی نیز سازگار است. آنالیز نمونه پلازیوکلاز از مرکز به حاشیه انجام شده و نمودار آن نیز رسم شده است (شکل b-۴). به نظر می‌رسد اسکن خطی و پیوسته به طور کامل انجام نشده است تا زونینگ نوسانی به طور کامل مشخص شود در حالی‌که این پدیده در شکل (a-۲) در یکی از پلازیوکلاز‌ها به خوبی نمایان است. اما این مشکل به دلیل محدودیت در آنالیز میکروپراب (EPMA) و این که اصولاً این کار را افراد غیرمتخصص انجام می‌دهند، ایجاد می‌شود. با این توضیح که زونینگ نوسانی در تصاویر میکروسکوپی کاملاً نمایان است. کاهش تدریجی An از مرکز به حاشیه و سپس افزایش آن ممکن است انعکاسی از زونینگ نوسانی باشد. طبق نمودار خارجی‌ترین نقطه بلور، دارای بالاترین میزان An است که احتمالاً شرایط ترمودینامیکی و فیزیکوشیمیایی ویژه‌ای می‌طلبد. بخش نرمال مربوط به تبلور عادی ماگما است که در ادامه با بخش معکوس دنبال می‌شود و این نیز احتمالاً مربوط به اختلاط ماگمایی است. اختلاط ماگمایی به این صورت انجام می‌گرفته که تبلور ماگمای ساکن در اتاق ماگمایی بر اثر تغذیه مجدد، مخلل می‌شده است.

اختلاط ماگمایی با وجود بافت‌های غربالی در بعضی نمونه‌ها نیز قابل تأیید است. علت تشکیل این بافت ممکن است کاهش سریع فشار (صعود سریع ماگما) و یا تغییرات فشار بخار آب ماگما باشد که می‌تواند

منحنی‌های لیکیدوس و سالیدوس سیستم $Ab-An$ را تغییر دهد. در ضمن اختلاط ماقمایی نیز می‌تواند چنین بافتی را به وجود آورد (شلی، [۲۵]). با بررسی‌های به عمل آمده و با توجه به بحث فوق به نظر می‌رسد که علت اصلی در این جا صعود سریع ماقما است.

نوع کلینوپیروکسن در این سنگ‌ها دیوپسید است و از آنالیزینج نقطه کلینوپیروکسن‌ها و فرمول سازی نیز این موضوع را تأیید می‌کند (شکل ۴-d). از نتایج تجزیه الکترون میکرون پروف (EPMA) در تعیین سری ماقمایی منطقه بررسی شده نیز استفاده شده است که در ادامه به تصویر کشیده شده است.

وجود زونینگ نوسانی در بیشتر بلورهای کلینوپیروکسن نشان‌گر عدم تعادل سیستم ماقمایی در طول تبلور و یا مربوط به تغییر سرعت رشد بلور، انحلال و واکنش عدم رشد است که همه این موارد نشان‌دهنده تغییر ترکیب ماقما، دما و فشار است (شلی، [۲۵]). بافت غربالی در بیشتر دیوپسیدها دیده می‌شود که دلیل آن ممکن است سرعت صعود زیاد ماقما و کاهش فشار در دمای ثابت باشد که باعث ذوب کانی‌های حرارت زیاد می‌شود و چون فلوگوپیت‌ها سالم باقی مانده‌اند می‌توان گفت که ناپایداری دیوپسیدها ممکن است مربوط به یک مرحله جلوتر باشد. چنان‌چه ماقما در عمق بیشتری بوده و احتمالاً به مکان بالاتری انتقال یافته است که در این مرحله احتمالاً فلوگوپیت متبلور نشده و بعداً فلوگوپیت‌ها در افق‌های بالاتر و در دماهای پایین‌تر تشکیل شده‌اند.

تجزیه الکترون میکرو پروف از پنج نقطه میکارها انجام شده است که موقعیت آن در شکل ۴-۴ نمایش داده شده است. به دلیل بالا بودن Mg در مقابل Fe کانی‌های فیلو سیلیکات باید فلوگوپیت یا نهایتاً فلوگوپیت آهن‌دار باشند که این مسئله در شکل ۴-۴ به وضوح دیده می‌شود. از این مسئله در مورد ژنز کانی‌ها نیز می‌توان استفاده کرد که در ادامه مورد بحث قرار گرفته است. معمولاً کانی همراه دیوپسید، هورنبلند است. با توجه به این که مقدار کانی هورنبلند در این نمونه سنگ‌ها بسیار اندک است و در مقابل میزان فلوگوپیت از فراوانی بیشتری دارد. این مسئله حاکی از زیاد بودن نسبت آب یا عامل (OH) در ماقماست که منجر به تشکیل فلوگوپیت به جای آمفیبل شده است.

پترولوزی و ژئوشیمی

برای جدا کردن محدوده سری آکالان از سری ساب آکالان از دیاگرام (ایروین و باراگار، [۱۳]) مجموع آکالان ($Na_2O + K_2O$) در مقابل سیلیس استفاده شده است. شکل (۴-f) موقعیت سنگ‌های منطقه شمال غرب مرند را در این دیاگرام نشان می‌دهد. چنان‌که ملاحظه می‌شود اغلب نمونه‌ها در محدوده آکالان قرار می‌گیرند و فقط ۵ نمونه در محدوده ساب آکالان واقع می‌شود. نمونه‌هایی که در محدود ساب آکالان قرار می‌گیرند، به نظر می‌رسد در اثر آلایش ماقما با مواد پوسته‌ای حاصل شده‌اند.

برای جدا کردن محدوده سنگ‌های آکالان سدیک و آکالان پتاسیک از دیاگرام Na_2O در مقابل K_2O استفاده شده که به وسیله میدل موست [۱۸] ارائه شده است.

شکل (۵-a) موقعیت نمونه‌های منطقه را در این دیاگرام نشان می‌دهد. پنج نمونه در محدوده با پتاسیم زیاد و ده نمونه در محدوده پتاسیک واقع شده است و همچنین پنج نمونه در محدوده سدیک واقع گردیده است. از دیاگرام K_2O در مقابل SiO_2 (گیبسون و همکاران، [۱۲]) برای مشخص کردن میزان پتاسیم نمونه‌ها استفاده شده است که اغلب نمونه‌ها در محدوده پرپتاسیم قرارگرفته و دو نمونه در محدوده با پتاسیم متوسط واقع است (شکل ۵-b).

با توجه به این که اکثر نمونه‌های شمال غرب مرند در محدوده آکالان قرار می‌گیرند می‌توان ولکانیسم موجود در منطقه را یک ولکانیسم آکالان نامید. نتایج آنالیزهای شیمیایی مبین این مطلب است که میزان K_2O اکثر نمونه‌ها بیشتر از Na_2O بوده به طوری که نسبت K_2O/Na_2O در بیشتر نمونه‌ها از یک و در برخی موارد به بیش از سه نیز می‌رسد با توجه به این نتایج و نیز زیاد بودن مقادیر MgO که در اکثر نمونه‌ها بیش از سه درصد وزنی است؛ می‌توان گفت بخش زیادی از سنگ‌های شمال غرب مرند جزء سنگ‌های پتاسیک و اولترابتاسیک محسوب می‌شوند.

نمودار SiO_2 در مقابل K_2O که پکسربیلو و تایلور [23] ارائه کرده‌اند در شکل (۵-c) نمایان است. این دیاگرام به چهار محدوده شوشوئنیتی، سری با پتاسیم بالا، سری کالکوآلکالان و سری کم پتاسیم تقسیم شده است. همان طور که ملاحظه می‌شود چهار نمونه در محدوده پتاسیم بالا و یک نمونه در محدوده کالکوآلکالان و بقیه نمونه‌ها در محدوده شوشوئنیتی قرار می‌گیرند.

نمودار عبدالرحمن [8]: در این نمودار از اکسیدهای عناصر اصلی MgO و Al_2O_3 و $FeO(t)$ موجود در ترکیب شیمیایی میکاها استفاده شده است. در این نمودار نمونه آنالیز شده در محدوده کالک آکالان و کالک آکالان کوه زایی قرار می‌گیرد (شکل ۶-c,b).

برای تعیین سری ماگمای سازنده پپروکسن‌ها از نمودار $Ca+Na-Ti$ (لتیر و همکاران [۱۵]) استفاده شده است. در این نمودار، کلینوپپروکسن‌های منطقه گرایشی را از ماگماهای تولینی و کالک آکالان به ماگمای آکالان نشان می‌دهد (شکل ۶-d).

در شکل (۵-d) نمونه‌های محدوده بررسی شده نسبت به گوشه اولیه نرمالیزه شده‌اند. چنان‌که در این شکل دیده می‌شود عناصر Rb , Ba , K , Sr غنی شدگی فراوانی را در سنگ‌های بررسی شده نشان می‌دهد (محدود سایه‌دار تغییرات تمامی نمونه‌ها را در بر دارد). فراوانی تمرکز عناصر لیتوفیل بزرگ یون معمولاً مرتبط با نقش فازهای سیال در ماگما است (رولینسون، [۲۴]) و چون این عناصر ناسازگار هستند، در هنگام ذوب تقریقی ترجیحاً وارد مذاب می‌شوند و در مذاب‌های با میزان ذوب کم غلظت این عناصر افزایش می‌یابد. همچنین عناصر ذکر شده در پوسته خیلی بیشتر از گوشه است که این امر احتمالاً نشان می‌دهد ماگما از گوشه متاسوماتیزه با ترکیب لرزولیتی تحت فوگاسیته بالای H_2O/CO_2 منشأ گرفته و با مواد پوسته‌ای نیز آلایش پیدا کرده است.

مقدار اندک Nb در دیاگرام‌ها به وضوح دیده می‌شود. مقدار Nb در پوسته خیلی کمتر از گوشه است که این نیز به احتمال، ممکن است دلیل دیگری برای آلاش مانگما با مواد پوسته‌ای باشد.

پترولوزی

تقسیم‌بندی سنگ‌های پتاسیک و اولترابتاسیک:

طبق تقسیم‌بندی فولی [۱۱]، سنگ‌های پتاسیک و اولترابتاسیک بر اساس مشخصات‌شان به‌ویژه تفاوت در کانی‌شناسی، خصوصیات ژئوشیمیابی و موقعیت‌های مختلف تکتونیکی که ظاهر می‌گردد به چهار گروه اصلی تقسیم می‌شوند:

۱. لامپروئیت‌ها ۲. کامفوژیت‌ها ۳. سنگ‌های تیپ ناحیه رومان ایتالیا ۴. شوشوئیت‌ها

از مشخصات لامپروئیت‌ها نبود پلازیوکلاز و مقادیر بسیار اندک SiO_2 (کمتر از ۴۵ درصد وزنی) و Al_2O_3 (کمتر از ۱۲ درصد وزنی) هستند. با این تفاوت که نمونه‌های منطقه بررسی شده دارای پلازیوکلاز و مقادیر زیاد SiO_2 (۴۷ تا ۶۳ درصد وزنی) و Al_2O_3 (۱۳ تا ۱۷ درصد وزنی) هستند.

از مشخصات کامفوژیت‌ها نبود سانیدین و حضور میلیت و مقادیر بسیار پایین SiO_2 (کمتر از ۴۵ درصد وزنی) و Al_2O_3 (کمتر از ۱۲ درصد وزنی) است. با این تفاوت که نمونه‌های منطقه بررسی شده دارای سانیدین و فاقد میلیت هستند و مقادیر SiO_2 و Al_2O_3 زیادی دارند.

سنگ‌های اولترابتاسیک منطقه بررسی شده شباهت زیادی به سنگ‌های ناحیه رومان ایتالیا دارند. سنگ‌های رومان ایتالیا که دارای سه کانی پلازیوکلاز، کلینوپیروکسن و لوسيت به عنوان کانی اصلی هستند با این تفاوت که در بیشتر نمونه‌های منطقه بررسی شده به ویژه آندزیت‌ها کانی لوسيت یافت نمی‌شود. به طور کلی سنگ‌های ولکانیک منطقه از لحاظ کانی‌شناسی و ژئوشیمی و سایر ویژگی‌ها بیشترین شباهت را به شوشوئیت‌ها دارند.

مولر و همکاران [۲۱] و [۲۲] محیط‌های تکتونیکی سنگ‌های پتاسیک را به انواع زیر تقسیم بندی کردند:

- قوس قاره‌ای
- قوس‌های بعد از تصادم
- جزایر قوسی
- موقعیت داخل صفحه‌ای

محیط تکتونیکی نمونه‌های بررسی شده قوس‌های بعد از تصادم است و نمودارهای موجود در شکل‌های (e,f) و (a-6) تأیید کننده همین موضوع هستند.

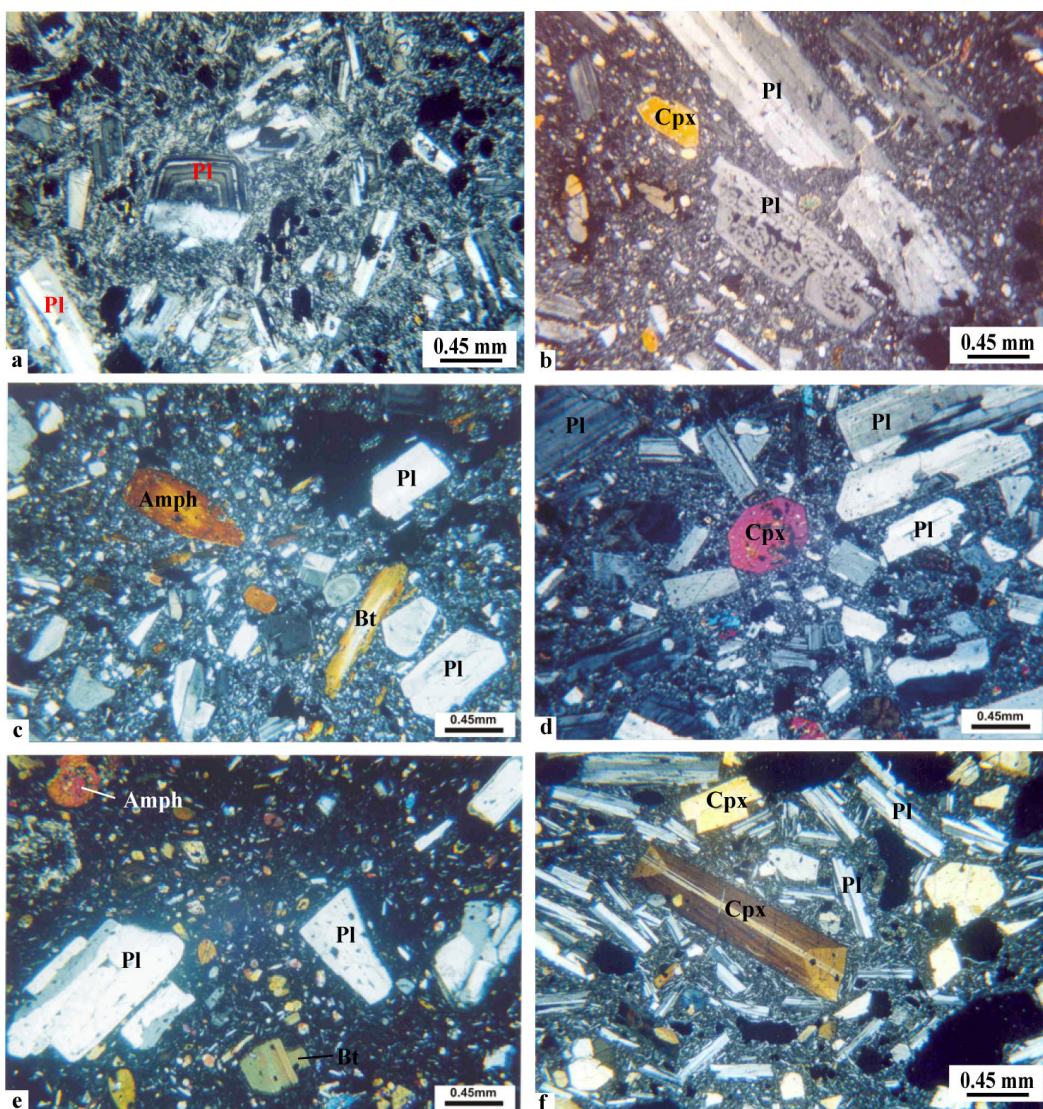
با توجه به بررسی‌های انجام گرفته و شواهد موجود می‌توان گفت که در منطقه پژوهش پدیده فرورانش فعل نئوتیس در کرتاسه فوکانی متوقف شده است و از دلایل عمدۀ آن سن گرانیتوئیدهای S-type نوار دگرگونی

سنندج- سیرجان است که برخورد قاره - قاره را در کرتاسه میانی تا فوقانی نشان می‌دهند. مسعودی و همکاران [۱۷] برای گرانیتوئیدهای مشابه دو سن مختلف ارائه کردند. نمونه‌های جوانتر در حدود ۵۲-۷۰ میلیون سال و نمونه‌های قدیمی‌تر در حدود ۱۲۰ میلیون سال تعیین سن شده‌اند. همچنین بررسی‌های مؤید [۵] و [۶] بر روی ماگماتیسم ترشیری زون‌های البرز غربی- آذربایجان و ارومیه- دختر نشان داده است که این دو نوار ماگمایی مربوط به قوس‌های ماگمایی پس از برخورد بوده و به فرورانش فعال ارتباطی ندارند. با قبول این موارد، ماگماتیسم آکالان محدود پژوهشی را نمی‌توان به فرورانش فعال نئوتیس نسبت داد و دیاکرامهای تعیین کننده محیط تکتونیکی نیز تأیید کننده این موضوع هستند. علاوه بر موارد ذکر شده در بالا بررسی‌های مؤید و همکاران [۱۹] در مورد لامپروفیرهای شمال غرب ایران نیز دلیلی دیگر بر تأیید این مسئله است.

متعاقب فاز فشاری آستیرین (مرز میوسن - پلیوسن) که پیامد گشايش بحر احمر و فشار مضاعف پوسته عربی به پوسته ایران بوده است، فاز کششی متعاقب این فشارش باعث فعالیت گسل‌های موجود در پی سنگ منطقه شده است و با تحرك گسل‌های نرمال و راستالغز در منطقه و یا محل تلاقی سیستم گسله و با کاهش فشار از روی گوشه‌های که در طی مزوژوئیک توسط سیالات فرورانشی متأسوماتیزه شده است، گوشه با میزان کم ذوب شده و محصول آن یک ماگمای آکالان بوده است. این ماگما در طی صعود متحمل فرایند آلایش با مواد پوسته نیز شده است. ماگماتیسم تقریبی و بازانیتی محدود پژوهش نشان‌دهنده صعود ماگماهای تشکیل شده از مناطق عمیقی هستند که کمتر دچار آلایش با مواد پوسته‌ای شده‌اند، ولی محصولات اسیدی‌تر منعکس کننده پدیده آلایش ماگما با مواد پوسته‌ای هستند. حضور Mg بیشتر، تأییدی دیگر بر عمیق‌تر بودن خاستگاه ماگمایی کانی‌ها و سنگ‌های سنت. وجود کانی فلوگوپیت در این سنگ‌ها علاوه بر عمیق بودن منشأ ماگما، نشان‌دهنده آبدار بودن ماگما نیز هست. به هر حال حضور فلوگوپیت ممکن است نشانه حرارت و فشار بالاتر تشکیل ماگما و کانی‌های موجود باشد. با توجه به نمودار یودر و اگستر [۲۸] و کارهای تجربی صورت گرفته توسط آن‌ها، اگر محدود پایداری کانی فلوگوپیت را در فشار ۵ کیلو بار در نظر بگیریم، دمای تشکیل آن بالاتر از ۱۱۰۰ درجه سانتی‌گراد خواهد بود و عمق تشکیل آن نیز به بیش از ۱۵ کیلومتر خواهد رسید.

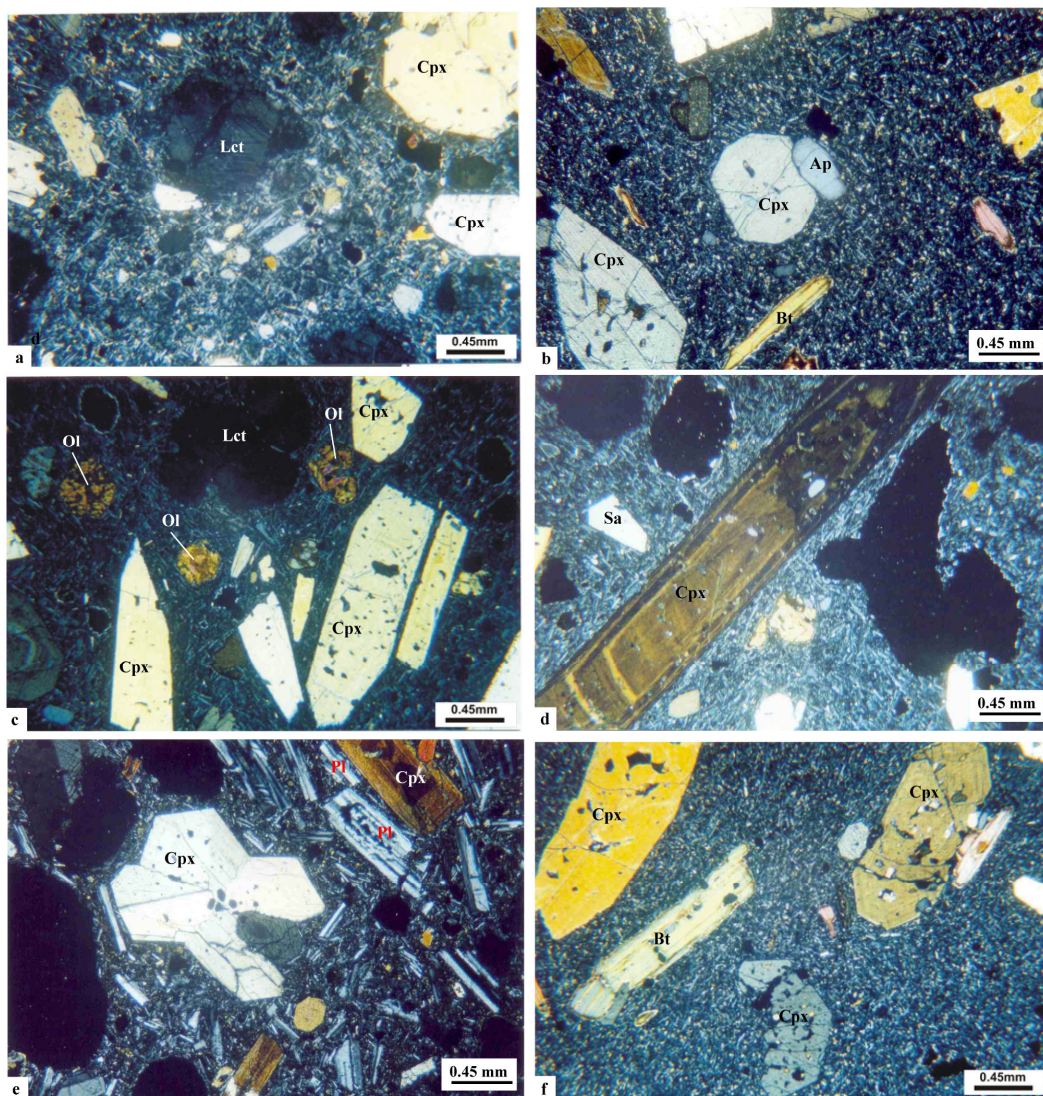


شکل ۱. پوشیده شدن رسوبات میوسن فوقانی (U.R.F) با سنگ‌های ولکانیک پلیو- کواترنر در نزدیکی روستای قاپلیق



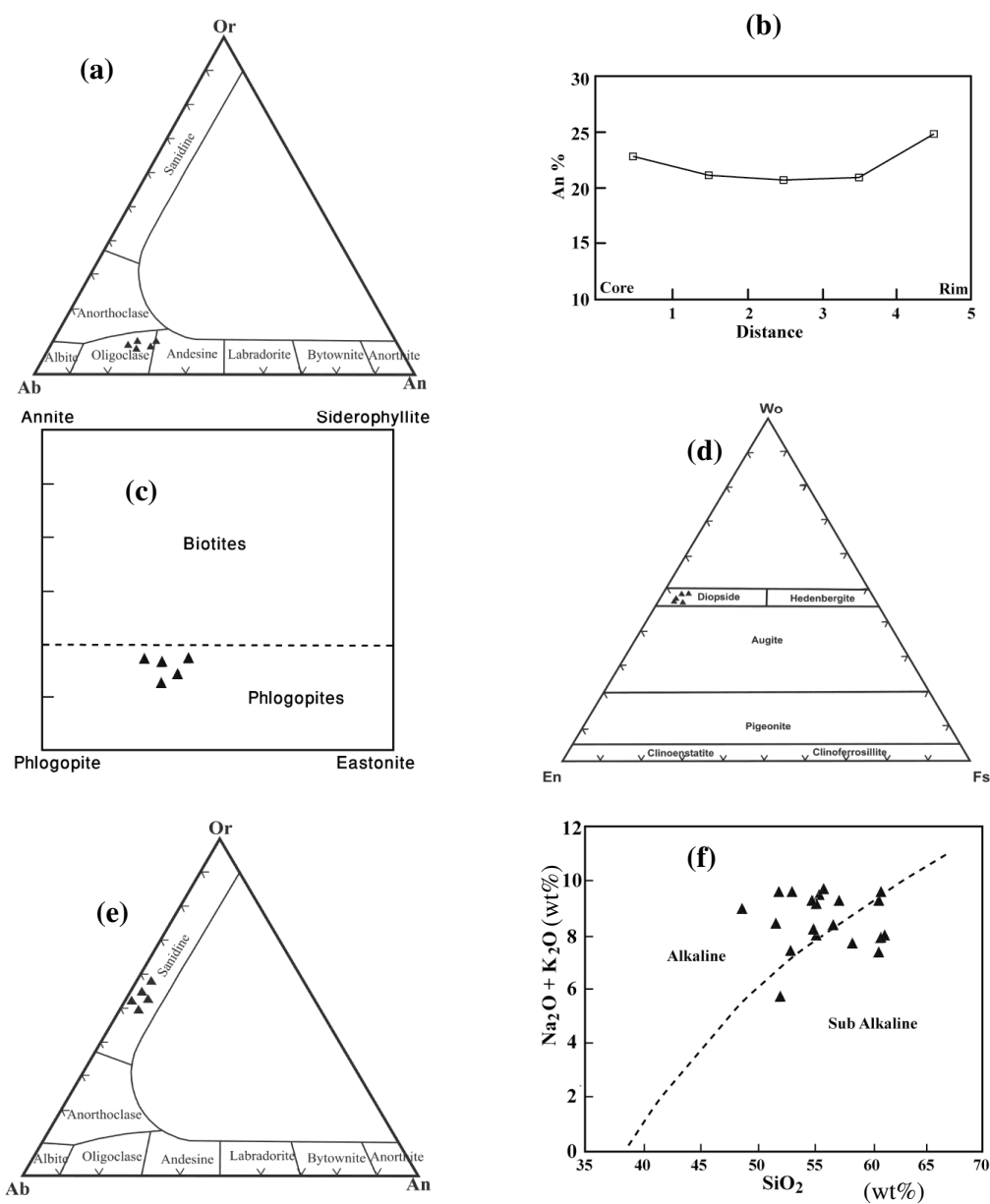
شکل ۲.

- a : بافت میکرولیتی پورفیریک در پیروکسن آندزیت و زونینگ نوسانی در پلازیوکلاز (حالت XPL)
- b : بافت غربالی در فنوكریستال پلازیوکلاز در آندزیت (حالت XPL)
- c: فلوگوپیت و آمفیبول زونه در هورنبلند آندزیت ها (حالت XPL)
- d : پلازیوکلاز و کلینوپیروکسن شکل دار در آندزیت بازالتی (حالت XPL)
- e : بافت میکرولیتی پورفیریک و کانی های فلوگوپیت، آمفیبول و پلازیوکلاز در آندزیت بازالتی (حالت XPL)
- f : بافت هیالومیکرولیتی پورفیریک در آندزیت بازالتی و کلینوپیروکسن با ماکل ساعت شنی (حالت XPL) (پلازیوکلاز= pl و کلینو پیروکسن = Cpx و آمفیبول = Bt و آمفیبول = Amph)



شکل ۳.

- a : لوسيت با ماکل پيچيده و کلينوپيروکسن و بافت ميكروليتي پورفيريک در لوسيت تفریت (حالت XPL)
- b : بلور درشت آپاتيت در لوسيت تفریت (حالت XPL)
- c : لوسيت بازانيت و اليوين های ايدنگزیته و کلينوپيروکسن و بافت ميكروليتي پورفيريک (حالت XPL)
- d : کلينوپيروکسن با زونینگ نوسانی در لوسيت بازانيت (حالت XPL)
- e: ماکل صليبي در کلينوپيروکسن در سنگ تفریت (حالت XPL)
- f : بلورهای شکلدار کلينوپيروکسن و فلوگوپيت با حاشیه سوخته در تفریت (حالت XPL)
- (آپاتيت = Ap و لوسيت = Lct و اليوين = Ol)



شکل ۴.

a : نمایش نوع فلدسپار (پلاژیوکلاز) در سنگ‌های آندزیت منطقه (دیر و همکاران، [۹]).

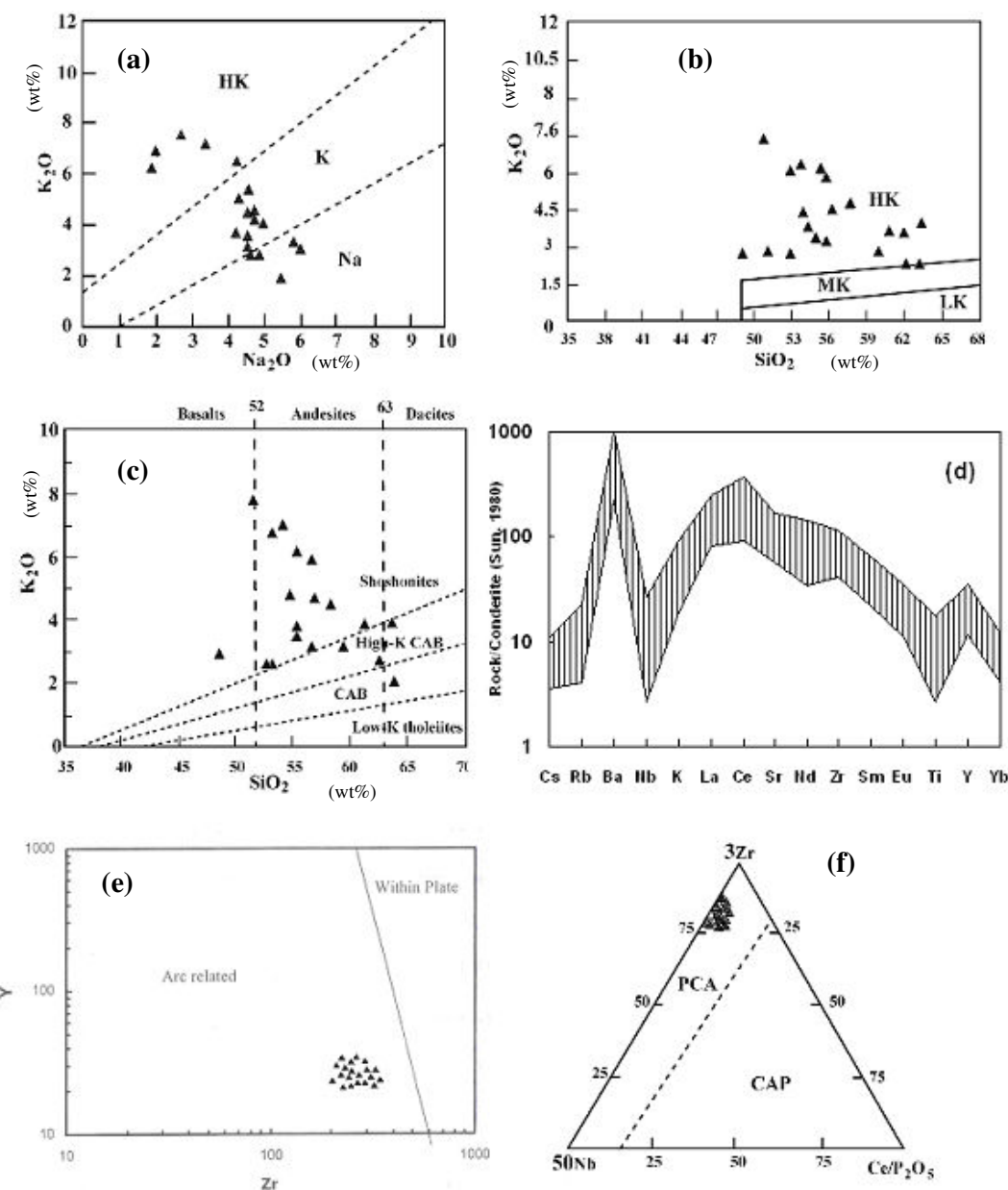
b : نمودار زونینگ ترکیبی پلاژیوکلاز موجود در سنگ‌های آندزیت.

c : نمایش نوع میکا در سنگ‌های آندزیت منطقه (دیر و همکاران، [۹]).

d : نمایش نوع کلینوپیروکسن در سنگ‌های لوسیت تفریت منطقه (فابریز و همکاران، [۱۰]).

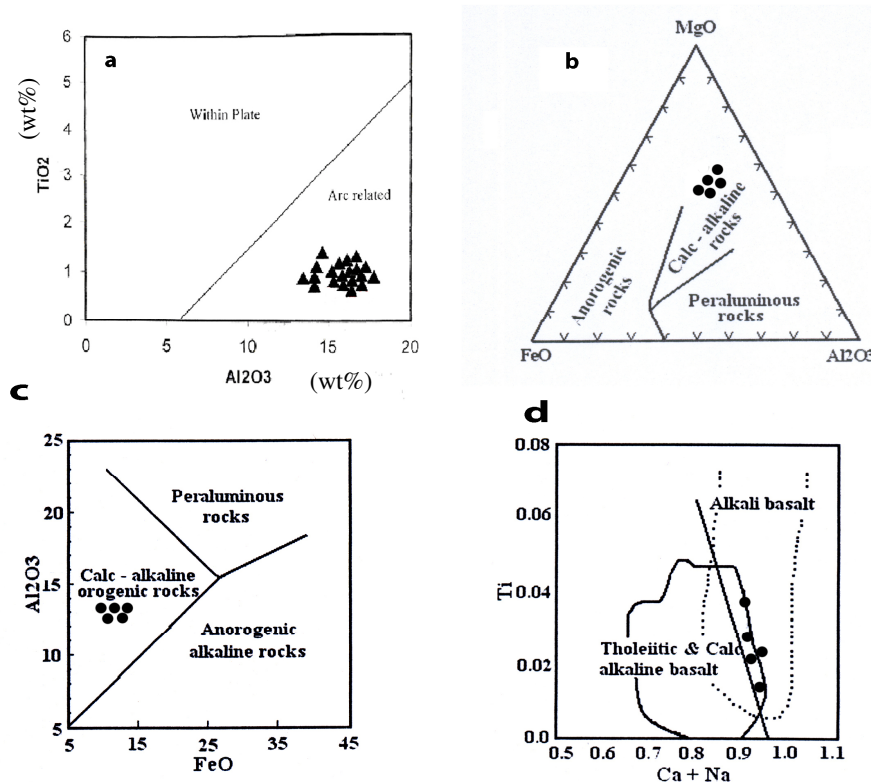
e : نمایش نوع فلدسپار در سنگ‌های آندزیتی منطقه در دیاگرام پیشنهادی (دیر و همکاران، [۹]).

f : تعیین سری ماقمایی سنگ‌های ولکنیک منطقه با استفاده از دیاگرام (ایروین و باراگر، [۱۲]).



شکل ۵

- a : موقعیت نمونه‌های ولکانیک منطقه در دیاگرام سدیم در مقابل پتاسیم (میدل موست، [۱۸]).
- b : موقعیت نمونه‌های ولکانیک منطقه در دیاگرام SiO_2 در مقابل K_2O (گیسون و همکاران، [۱۲]).
- c : موقعیت نمونه‌های ولکانیک منطقه در دیاگرام SiO_2 در مقابل K_2O (پکسریلو و تایلور، [۲۳]).
- d : نمودار عنکبوتی سنگ‌ها که بر اساس کندریت نرمالیزه شده است (سان، [۲۷]).
- e : موقعیت تکتونیکی نمونه‌های منطقه در دیاگرام Y در مقابل Zr (لومتر و همکاران، [۱۴]).
- f : موقعیت تکتونیکی نمونه‌های منطقه در دیاگرام 3Zr , 50Nb , $\text{Ce}/\text{P}_2\text{O}_5$ (مولر و همکاران، [۲۰]).



شکل ۶

a : موقعیت تکتونیک نمونه‌های منطقه در مقابله Al_2O_3 در مقابل TiO_2 (مولر و همکاران، [۲۰]).

b : ترکیب میکاهای منطقه در نمودار $\text{Al}_2\text{O}_3\text{-MgO-FeO}$ (عبدالرحمن، [۱۸]).

c : ترکیب میکاهای منطقه در نمودار $\text{Al}_2\text{O}_3\text{-FeO}$ (عبدالرحمن، [۱۸]).

d : ترکیب کلینوپیروکسن‌های منطقه بر روی نمودار Ti-Ca+Na (لتیر و همکاران، [۱۵]).

نتایج آنالیز الکترون میکرو پرور و فرمول‌سازی کانی‌های پلازیوکلاز، بیوتیت، کلینوپیروکسن و سانیدین بدین ترتیب

است:

(پلازیوکلاز)

Oxides(wt%)	FLD1	FLD2	FLD3	FLD4	FLD5
SiO_2	62.725	62.918	63.051	62.17	62.065
TiO_2	0	0.014	0.041	1.247	0
Al_2O_3	22.231	22.57	21.863	22.193	23.578
BaO	0.496	0.251	0.765	0.578	0
FeO	0	0	0	0	0
MgO	0	0	0	0	0.254
CaO	4.895	4.503	4.419	4.291	5.079
K_2O	8.253	8.37	8.237	7.954	7.662
Na_2O	1.41	1.455	1.619	1.577	1.359
Total	100	100.07	99.995	100.009	99.997

Formule(160)	FLD1	FLD2	FLD3	FLD4	FLD5
Si	5.6	5.6	5.63	5.55	5.52
Ti	0	0.001	.003	0.09	0
Al	2.34	2.36	2.3	2.3	2.47
Fe ²⁺	0.04	0.02	0.05	0.04	0
Mg	0	0	0	0	0.02
Mn	0	0	0	0	0
Ca	0.47	0.43	0.42	0.41	0.49
Na	1.43	1.44	1.43	1.37	1.33
K	0.16	0.16	0.18	0.18	0.15
Total	10.04	10.011	10.04	9.94	9.98

Or	7.76	7.88	8.87	9.8	7.61
Ab	69.42	70.94	70.43	69.9	67.52
An	22.82	21.18	20.7	20.92	24.87

(میکا)

Formule basedon (24)	Phlo1	Phlo2	Phlo3	Phlo4	Phlo5
SiO ₂	36.5	37.94	37.15	37.34	37.37
TiO ₂	6.34	5.77	5.34	5.81	5.72
Al ₂ O ₃	13.7	13.44	13.77	13.64	13.09
FeO	12.218	10.92	11.89	11.49	11.57
MgO	15.97	16.28	16.15	16.33	16.21
MnO	0.16	0.3	0.19	0.23	0.1
CaO	0.2	0.06	0.13	0.13	0.13
H ₂ O	4.45	4.47	4.44	4.47	4.43
Na ₂ O	1.17	1.32	1.1	1.18	1.16
K ₂ O	9.3	9.08	9.84	9.38	9.65
Total	100	99.55	100	100	99.43

Formule basedon (24)	Phlo1	Phlo2	Phlo3	Phlo4	Phlo5
Si	5,35	5,56	5,45	5,46	5,52
Ti	0,7	0,63	0,58	0,64	0,64

Al	2,35	2,31	2,38	2,36	2,27
Fe	1,5	1,33	1,45	1,4	1,41
Mg	3,5	3,55	3,53	3,55	3,54
Mn	0,01	0,03	0,02	0,04	0,01
Ca	0,04	0,01	0,01	0,02	0,02
OH	4,32	4,37	4,32	4,33	4,33
K	1,7	1,69	1,83	1,74	1,8
Na	0,32	0,37	0,31	0,32	0,32
Total	19,79	19,85	19,88	19,86	19,88

(کلینوپیروکسن)

Oxides(wt%)	CPX 1	CPX 2	CPX 3	CPX 4	CPX5
SiO₂	52.64	52.26	52.42	53.7	50.48
TiO₂	0.95	0.92	0.73	0.5	1.53
Al₂O₃	1.98	2.01	1.85	1.16	2.28
MnO	0.14	0.3	0.38	0.17	0.3
FeO	4.95	5.71	5.71	4.4	7.19
MgO	15.45	15.18	15.52	16.12	14.41
CaO	22.98	22.79	22.37	23.39	23.21
K₂O	0.07	0.02	0.07	0.01	0.02
Na₂O	0.69	0.81	0.89	0.57	0.59
Total	99.84	99.99	99.93	100	100

Formule(60)	CPX 1				
TSi	1.94	1.92	1.93	1.97	1.89
TAl	0.06	0.08	0.07	0.03	0.13
M₁Al	0.02	0.01	0.01	0.02	0
M₁Ti	0.03	0.02	0.02	0.01	0.04
M₁Fe⁺²	0.11	0.14	0.12	0.09	0.16
M₁Mg	0.85	0.83	0.86	0.88	0.8
M₂Fe⁺²	0.05	0.04	0.06	0.04	0.06
M₂Mn	0.002	0.01	0.01	0.003	0.01
M₂Ca	0.91	0.9	0.89	0.92	0.92
M₂Na	0.04	0.05	0.03	0.04	0.02
M₂K	0.003	0	0.002	0	0
Total	4	4	4	4	4

Wo	47.46	47.13	46.24	47.52	47.42
En	44.26	43.46	44.58	45.6	41.24
Fs	8.28	9.42	9.18	6.88	11.34

(سانیدین)

Oxides(wt%)	Sandin 1	Sandin 2	Sandin 3	Sandin 4	Sandin 5
SiO₂	65.265	63.227	64.82	65.281	64.421
TiO₂	0.01	0.1	0.142	0.272	0.091
Al₂O₃	19.157	20.048	18.916	19.419	19.254
BaO	0.9	0.558	0.698	0.4	0.685
FeO	0.42	0.257	0.428	0.27	0.541
MgO	0	0.003	0	0.03	0.026
CaO	0.5	0.859	0.372	0.845	0.656
K₂O	9.145	8.639	10.38	8.872	8.871
Na₂O	4.585	4.631	4.369	4.599	4.756
Total	99.982	98.322	100.125	99.988	99.301

Formule(160)	Sandin 1	Sandin 2	Sandin 3	Sandin 4	Sandin 5
Si	5.93	5.83	5.92	5.91	5.9
Ti	0.0005	0.006	0.01	0.02	0.006
Al	2.05	2.184	2.04	2.07	2.08
Ba	0.03	0.02	0.03	0.02	0.02
Fe²⁺	0.03	0.02	0.03	0.02	0.04
Ca	0.05	0.08	0.04	0.08	0.07
Mg	0	0.004	0	0.004	0.003
K	1.06	1.02	1.21	1.02	1.03
Na	0.81	0.83	0.77	0.81	0.85
Total	9.9605	9.994	10.05	9.954	9.999

Or	55.21	52.84	59.9	53.4	52.82
Ab	42.19	43.01	38.12	42.41	43.59
An	2.6	4.15	1.98	4.19	3.59

جدول ۱. نتایج آنالیز عناصر اصلی ۲۰ نمونه از سنگ‌های ولکانیک منطقه بررسی شده (درصد وزنی)

Sample name	SiO ₂	Al ₂ O ₃	FeO (t)	Fe ₂ O ₃	FeO	CaO	MgO	K2O	Na ₂ O	MnO	TiO ₂	P2O ₅	Total
S-84/A4	53.1	15.6	6.34	2.76	3.2	6.7	4.3	6.7	1.95	0.1	1	0.88	96.53
S-84/C10	56.8	15.8	6.54	3.13	3	6.2	4.1	4.7	4.71	0	1.1	0.62	100
S-84/A2	54.1	15.8	5.99	2.93	2.7	5.9	4	7	3.29	0	1	0.87	88.3
S-84/F1	61.2	15.2	4.25	2.04	2	5.1	2.9	3.8	5.06	0	0.6	0.32	97.9
S-84/A17	56.5	16.6	6.6	2.92	3.2	6.7	2.4	3.2	4.84	0.1	0.7	0.41	98
S-84/A15	59.3	17.2	4.95	2.36	2.3	3.7	1.7	4.5	5.13	0	0.7	0.2	96
S-84/A1	51.5	13.2	6.2	2.95	2.9	7.3	5.5	7.8	2.95	0	1.2	1.21	97.15
S-84/A12	52.6	15.9	7.69	3.14	4.1	8.9	3.8	2.6	4.94	0	1.6	0.67	98.76
S-84/A16	55.3	15.4	6.1	2.67	3.1	5.9	4.8	6.1	1.95	0	1.2	0.81	97.23
S-84/D11	48.5	14.5	7.71	3.36	3.9	7	6	3	6.25	0.1	1.5	0.87	95.74
S-84/C3	59.5	14.4	3.58	1.65	1.8	4.5	3.5	3.2	4.6	0	0.4	0.27	93.85
S-84/A6	55.2	16	6.73	2.9	3.4	6.5	4.1	3.7	3.75	0	1.1	0.61	97.7
S-84/C7	54.9	16	6.26	2.95	3	6.8	3.9	4.8	4.71	0	1.1	0.63	99.05
S-84/K4	62.3	13.2	4.89	2.19	2.4	4.9	4	2.7	4.42	0	0.7	0.34	97.41
S-84/D2	56.5	15.8	5.97	2.97	2.6	4.8	4.5	5.9	4.31	0.2	0.8	0.46	99.45
S-84/K6	62.2	15.3	2.82	1.41	1.3	3.2	2.2	3.2	5.58	0.1	0.3	0.2	95.09
S-84/A8	53.2	16.2	7.38	2.83	4.1	8.5	3.9	2.6	3.07	0	1.3	0.9	94.07
S-84/A21	63.5	15.6	4.18	2.04	2	3.9	3	3.9	4.65	0	0.5	0.22	99.96
S-84/D5-1	63.7	15.6	3.28	1.57	1.6	4.9	2.4	2	5.47	0	0.5	0.23	97.83
S-84/K9	55.2	15.8	6.32	2.78	3.2	7.5	3.1	3.5	5.01	0.2	1.4	0.54	99.02

جدول ۲. نتایج آنالیز عناصر کمیاب ۲۰ نمونه از سنگ‌های ولکانیک منطقه بررسی شده (بر حسب PPm)

Sample Name	Ba	Ce	Cr	Cs	Eu	Hf	La	Nb	Nd	Ni
S-84/A4	2614	262	80	1	1	6	34	4	35	39
S-84/C10	1325	136	176	1	1	6	43	2	50	105
S-84/A2	2369	233	90	2	1	6	38	6	42	36
S-84/F1	937	103	85	1	1	6	36	1	35	87
S-84/A17	1084	117	18	1	1	4	33	5	36	36
S-84/A15	1128	127	22	1	1	6	60	1	70	23
S-84/A1	2681	271	137	1	1	6	45	9	46	48
S-84/A12	1199	124	108	1	1	4	48	2	75	36
S-84/A16	2321	231	101	2	1	6	30	5	37	44
S-84/D11	1376	146	50	1	1	3	58	1	64	46
S-84/C3	820	97	72	1	1	6	31	1	24	90
S-84/A6	1994	201	129	1	1	6	47	5	48	53
S-84/C7	1327	137	176	1	1	6	41	3	38	100
S-84/K4	773	91	155	1	1	4	43	4	37	78
S-84/D2	1218	133	37	1	2	6	53	3	54	35
S-84/K6	902	106	82	1	0	5	32	3	24	37
S-84/A8	1389	146	124	2	1	6	52	1	70	44
S-84/A21	1051	118	32	1	1	5	36	5	26	38
S-84/D5-1	747	89	54	1	1	5	36	4	29	44
S-84/K9	974	105	96	1	2	4	43	4	46	43

ادامه جدول ۲.

Sample Name	Rb	Sc	Sm	Sr	Ta	Tb	Y	Yb	Zr
S-84/A4	50	25	5	1133	0	1	48	2	344
S-84/C10	30	24	7	1232	2	1	32	2	331
S-84/A2	43	23	8	1310	0	1	43	1	398
S-84/F1	32	21	6	1078	2	0	32	2	310
S-84/A17	24	27	8	936	1	1	38	2	255
S-84/A15	40	17	10	1290	0	0	47	1	330
S-84/A1	63	27	8	1132	1	1	55	2	371
S-84/A12	16	34	9	1189	1	1	27	1	292
S-84/A16	28	23	6	1137	1	1	33	2	327
S-84/D11	14	27	7	690	1	1	26	2	229
S-84/C3	33	20	5	1061	2	0	30	2	300

S-84/A6	49	26	7	1325	1	1	47	2	361
S-84/C7	35	26	8	1236	2	1	35	2	334
S-84/K4	22	21	6	1021	2	0	28	2	246
S-84/D2	30	20	8	1005	1	1	34	1	276
S-84/K6	34	15	10	1130	2	0	33	1	276
S-84/A8	28	32	8	1372	1	1	34	2	311
S-84/A21	40	17	9	1071	1	0	39	1	284
S-84/D5-1	31	21	6	1133	2	0	33	2	294
S-84/K9	20	30	7	1094	1	1	31	2	262

نتیجه‌گیری

- سنگ‌های آتشفشانی شمال‌غرب مرند بر روی نهشته‌های میوسن فوقانی قرار گرفته‌اند و به نظر می‌رسد مربوط به عملکرد فاز آستینین و به سن پلیو- کواترنر باشد.
- با توجه به وجود بافت میکرولیتی پورفیریک در اکثر نمونه‌های منطقه می‌توان گفت که تبلور ماقمای سازند سنگ‌های منطقه احتماً در دو محیط عمیق و کم عمق صورت گرفته است.
- بررسی‌های میکروسکوپی برخی از کانی‌ها بهویژه وجود زونینگ نوسانی و بافت غربالی در پلازیوکلازها و کلینوپپروکسن‌ها و اکسیداسیون شدید آمفیبول‌ها و بیوتیت‌ها نشان دهنده تغییرات شدید فشار و حرارت و یا تغییر ترکیب ماقما در طول تبلور است.
- مقایسه خصوصیات کانی‌شناسی و ژئوشیمیایی سنگ‌های منطقه با انواع سنگ‌های پتاسیک و اولترابتاسیک نشان می‌دهد که این سنگ‌ها بیشترین شباهت را با سنگ‌های شوشوونیتی دارند.
- بررسی عناصر فرعی نشان می‌دهد که سنگ‌های منطقه از عناصر لیتوفیل بزرگ یون (LILE) غنی بوده و دارای مقداری اندک عناصر با میدان پایداری قوى (HFSE) هستند که این امر به احتمال نشان می‌دهد گوشه‌متاسوماتیزه با ترکیب گارنت لرزولیتی تحت فوگاسیتیه بالای $\text{CO}_2/\text{H}_2\text{O}$ نقش عده‌ای در ژن ز این سنگ‌ها دارد و آغشته‌گی ماقما با مواد پوسته‌ای موجب تغییر ترکیب مقدار کمی از آن‌ها از الکالان به ساب آلکالان شده است.
- از لحاظ محیط‌تکتونیکی، سنگ‌های ولکانیک منطقه بررسی شده مربوط به محیط بعد از تصادم است.
- ماقماتیسم تفریتی و بازانیتی محدود پژوهشی نشان دهنده صعود ماقمای‌های تشکیل شده از مناطق عمیقی هستند که کمتر دچار آلایش با مواد پوسته‌ای شده‌اند ولی محصولات اسیدی تر منعکس کننده پدیده آلایش ماقما با مواد پوسته‌ای هستند.
- حضور Mg بیشتر، تأییدی دیگر بر عمیق‌تر بودن خاستگاه ماقمای کانی‌ها و سنگ‌های است. وجود کانی فلوگوپیت در این سنگ‌ها علاوه بر عمیق بودن منشاً ماقما، نشان دهنده آبدار بودن ماقما نیز هست. به‌حال حضور فلوگوپیت ممکن است نشانه حرارت و فشار بیشتر تشکیل ماقما و کانی‌های موجود داشد.

منابع

۱. احمدزاده، غلامرضا، بررسی پتروگرافی و پترولوزی و لکانیک‌های شمال گله بان، پایان‌نامه کارشناسی ارشد، دانشکده علوم دانشگاه تبریز (۱۳۸۱).
۲. پرکنی، مریم، بررسی و لکانیسم کواترنری در غرب و شمال غرب زنجیره، رساله کارشناسی ارشد زمین‌شناسی، دانشکده علوم دانشگاه تبریز (۱۳۷۷).
۳. شرح نقشه ۱:۲۵۰۰۰۰ تبریز- پلدشت، انتشارات سازمان زمین‌شناسی کشور (۱۳۷۵).
۴. شرح نقشه ۱:۱۰۰۰۰۰ قره ضیاءالدین، انتشارات سازمان زمین‌شناسی کشور (۱۳۷۶).
۵. مoid، محسن، پترولوزی نوار و لکانو- پلوتونیک ترشیری البرز غربی - آذربایجان، رساله دکتری، دانشکده علوم دانشگاه شهید بهشتی تهران (۱۳۸۰).
۶. مoid، محسن، نگرشی نور بر تکوین نفوذی و ارتباط آن با مگماگماتیسم ترشیری زون‌های ارومیه - دختر و البرز غربی- آذربایجان، مجموعه مقالات ششمین همایش زمین‌شناسی کشور- دانشگاه شهید باهنر کرمان، (۱۳۸۱)، ص ۳۷۸-۳۷۸.
۷. بنوی، م. ح، دیباچه‌ای بر زمین‌شناسی ایران، انتشارات سازمان زمین‌شناسی کشور (۱۳۵۵).
8. A.M. Abdel-Rahman, Nature of biotites from alkaline, Calc-alkaline and peraluminous magmas. Jour. Petrol, 35 (1994)525-541.
9. W.A. Deer, R.A. Howie, J. Zussman, Rock forming minerals, London(1991).
10. J. Fabries, and 8 others, Nomenclature of pyroxenes, Bull. Mineral, 111 (1988) 535- 550.
11. S. Foley, Petrologic characterization of the source comments of potassic magmas, geochemical and experimental constrains, J. Lithos, 28 (1992) 187 -204.
12. S.A. Gibson, R.N. Thompson, P.T. Leat, M.A. Morrison, G.L. Hendry, A. Dickin, J.G. Mitchell, ultrapotassic magmas along the Flanks of the Oligo-Miocene Rio Grande Rift. U. S. A: monitors of the zone of lithospheric mantle extension and thinning beneath a continental rift. J. Petrol. 34 (1993) 187- 228.
13. T.N. Irvin, and W.R.A. Baragar, a guide to the chemical classification of the common volcanic rocks, J. Earth Sci.8 (1971) 523-48.
14. R.W. Le Maitre, et al., A classification of igneous rocks and glossary of terms, Blackwell and oxford (1989) 193.
15. J. Leterrier, R.C. Maury, P. Thonon, D. Girad, and M. Marchal, Clinopyroxene composition as a method of identification of the magmatic affinities of paleo-volcanic series. Earth. Planet Sci. Lett., 59 (1982) 139-154.

16. W.S Mac kenzie, C.M.H. Donaldson, C. Guilford, *Atlas of igneous rock and their texture*, Longman sciences and technical (1987).
17. F. Masoudi, and B.W.D. Yardley, *Journal of sciences, Islamic Republic of iran* 16(1): 43-53 University of Tehran, ISSN (2005) 1016-1104.
18. E.A.K. Middlemost, *The basalt clan. Earth sci. Rev.* 11 (1975) 337-64.
19. M. Moayyed, M. Moazzen, A. Calagari, A. Jahangiri, M. Mojarrad, *Geochemistry and petrogensis of Laprophyric dykes and the associated rocks from Islamic peninsula, NW Iran: Implication for IP- Mantle metasomatism, chemi their- erde Geochemistry* (2008).
20. D. Muller, N.M.S. Rock, D.I. Groves, *Geochemical discrimination between shoshonitic and potassic volcanic rocks from different tectonic setting: a pilot study* Mineral petrol 46 (1992b) 259- 289.
21. D. Muller, D.I. Groves, *Direct and indirect associations between potassic igneous rocks. Shoshonites and gold- copper deposits*. Ore. Geol. Rev., No. 8 (1993) 383- 406.
22. D.Muller, D.I. Groves, *Potassic igneous rocks and gold- copper mineralization*, Sec. updated. Springer- verlag (1997) 242.
23. A. Peccerillo, and S.R. Taylor *Geochemistry of Eocene calc alkaline volcanic rocks from the kastamonu area, northern Turkey* (1976).
24. H. Rollinson, *Using Geochemical data: evolution, presentation, interpretation*, Longman (1993).
25. D. Shelley, *Igneous metamorphic rocks under the microscop*, Chapman and Hall, London, (1993) 445.
26. J. Stocklin, *structural history and tectonics of Iran, a review America, Inc. special paper* 88 (1968a) 157-181.
27. S.S. Sun, *chemical composition and origin of The earth sprimitive mantle*. J.Geo chem. Cosmochin. Acta, 46 (1980) 179-192.
28. H.S. Yoder, and H.P. Eugster, *Phlogopite synthesis and stability range*, Geochim. Et Cosmochim. Acta, vol. 6 (1954) 157.